

Implementierung des Sobelfilters in C und Assembler

Manuel Schnaus, Leonhard Chen und Stefan Gruber

Technische Universität München

Fakultät für Informatik

Lehrstuhl für Rechnerarchitektur und Parallele Systeme

München, der 03. März 2020



Einleitung

- Sobel-Filter hebt Umrisse im Bild hervor
- Filtert horizontal und vertikal und fügt Ausgabe-Bilder zusammen
- Definition des Sobel-Filters:

$$1. A^v = M^v * E$$

$$2. A_{(x,y)}^{v,F} = \sum_{i=-k}^k \sum_{j=-k}^k M_{(k+i,k+j)}^v \cdot E_{(x+i,y+j)}^F$$

$$3. p_{(x,y)} = (R_{(x,y)}, G_{(x,y)}, B_{(x,y)})$$

$$4. G_{(x,y)}^F = \sqrt{(A_{(x,y)}^{v,F})^2 + (A_{(x,y)}^{h,F})^2}$$

Lösungsansatz

Algorithm 1: Mathematischer Filter-Algorithmus

Data: Eingabebild $E \in \mathbb{R}^{b \times h \times 3}$, Ausgabebild $G \in \mathbb{R}^{b \times h \times 3}$, Breite des Bildes $b \in \mathbb{N}$,
Höhe des Bildes $h \in \mathbb{N}$

$$M^h = \begin{pmatrix} 1 & 0 & -1 \\ 2 & 0 & -2 \\ 1 & 0 & -1 \end{pmatrix}, M^v = \begin{pmatrix} 1 & 2 & 1 \\ 0 & 0 & 0 \\ -1 & -2 & -1 \end{pmatrix}$$

$y = 1$

while $y < h - 1$ **do**

$x = 1$

while $x < b - 1$ **do**

$$A_{(x,y)}^v = \sum_{i=-1}^1 \sum_{j=-1}^1 M_{(1+i,1+j)}^v \cdot E_{(x+i,y+j)}$$

$$A_{(x,y)}^h = \sum_{i=-1}^1 \sum_{j=-1}^1 M_{(1+i,1+j)}^h \cdot E_{(x+i,y+j)}$$

$$G_{(x,y)} = \sqrt{(A_{(x,y)}^v)^2 + (A_{(x,y)}^h)^2}$$

$x = x + 1$

$y = y + 1$

Lösungsansatz

$E_{(x-1,y-1)}$	$E_{(x,y-1)}$	$E_{(x+1,y-1)}$
$E_{(x-1,y)}$	$E_{(x,y)}$	$E_{(x+1,y)}$
$E_{(x-1,y+1)}$	$E_{(x,y+1)}$	$E_{(x+1,y+1)}$

$$A_{(x,y)}^v = E_{(x-1,y-1)}$$

Lösungsansatz

$E_{(x-1,y-1)}$	$E_{(x,y-1)}$	$E_{(x+1,y-1)}$
$E_{(x-1,y)}$	$E_{(x,y)}$	$E_{(x+1,y)}$
$E_{(x-1,y+1)}$	$E_{(x,y+1)}$	$E_{(x+1,y+1)}$

$$A_{(x,y)}^v = E_{(x-1,y-1)} + 2 E_{(x,y-1)}$$

Lösungsansatz

$E_{(x-1,y-1)}$	$E_{(x,y-1)}$	$E_{(x+1,y-1)}$
$E_{(x-1,y)}$	$E_{(x,y)}$	$E_{(x+1,y)}$
$E_{(x-1,y+1)}$	$E_{(x,y+1)}$	$E_{(x+1,y+1)}$

$$A_{(x,y)}^v = E_{(x-1,y-1)} + 2 E_{(x,y-1)} + E_{(x+1,y-1)}$$

Lösungsansatz

$E_{(x-1,y-1)}$	$E_{(x,y-1)}$	$E_{(x+1,y-1)}$
$E_{(x-1,y)}$	$E_{(x,y)}$	$E_{(x+1,y)}$
$E_{(x-1,y+1)}$	$E_{(x,y+1)}$	$E_{(x+1,y+1)}$

$$A_{(x,y)}^v = E_{(x-1,y-1)} + 2 E_{(x,y-1)} + E_{(x+1,y-1)} - E_{(x-1,y+1)}$$

Lösungsansatz

$E_{(x-1,y-1)}$	$E_{(x,y-1)}$	$E_{(x+1,y-1)}$
$E_{(x-1,y)}$	$E_{(x,y)}$	$E_{(x+1,y)}$
$E_{(x-1,y+1)}$	$E_{(x,y+1)}$	$E_{(x+1,y+1)}$

$$A_{(x,y)}^v = E_{(x-1,y-1)} + 2 E_{(x,y-1)} + E_{(x+1,y-1)} - E_{(x-1,y+1)} - 2E_{(x,y+1)}$$

Lösungsansatz

$E_{(x-1,y-1)}$	$E_{(x,y-1)}$	$E_{(x+1,y-1)}$
$E_{(x-1,y)}$	$E_{(x,y)}$	$E_{(x+1,y)}$
$E_{(x-1,y+1)}$	$E_{(x,y+1)}$	$E_{(x+1,y+1)}$

$$A_{(x,y)}^v = E_{(x-1,y-1)} + 2 E_{(x,y-1)} + E_{(x+1,y-1)} - E_{(x-1,y+1)} - 2E_{(x,y+1)} - E_{(x+1,y+1)}$$

Lösungsansatz

- Ersetzen der Matrix-Zugriffe durch eine einheitliche Summe

$$A_{(x,y)}^v = E_{(x-1,y-1)} + 2 E_{(x,y-1)} + E_{(x+1,y-1)} - E_{(x-1,y+1)} - 2E_{(x,y+1)} - E_{(x+1,y+1)}$$

und

$$A_{(x,y)}^h = E_{(x-1,y-1)} - E_{(x+1,y-1)} + 2E_{(x-1,y)} - 2E_{(x+1,y)} + E_{(x-1,y+1)} - E_{(x+1,y+1)}$$

- **Vorteile:** Keine Speicherzugriffe auf die Falungsmatrizen, keine mit 0 multiplizierte Elemente berücksichtigt
- Vier der sechs Elemente werden sowohl für die Berechnung von $A_{(x,y)}^v$ als auch $A_{(x,y)}^h$ benötigt

→ Gleichzeitige Berechnung beider Werte zur Einsparung von Load-Operationen

Lösungsansatz

- Verarbeitung von Bildern der Farbtiefe 24bpp \rightarrow 8 Bit pro Farbkanal eines Pixels
- Die einzelnen Farbkanäle eines Pixels im Ausgabe-Bild sind nicht voneinander abhängig
- Schleife über die Farbkanäle des Bildes statt über die Pixel \rightarrow auf jedes Byte des Eingabe-Arrays wird separat die Formel angewandt
- Umsetzung in einer einfachen Schleife über die Speicheradresse des Input-Arrays mit einem Counter über der Breite

Lösungsansatz

Algorithm 2: Optimierter Filter-Algorithmus

Data: Eingabebild $E[]$, Ausgabebild $G[]$, Breite des Bildes b , Höhe des Bildes h

$$E_{max} = b \cdot h \cdot 3 - b \cdot 6 - 6 + E$$

$$w = 0$$

while $E < E_{max}$ **do**

if $w = 3 \cdot (b - 2)$ **then**

$$E = E + 6$$

$$G = G + 6$$

$$w = 0$$

continue

$$A^{v,F} = E[0] + 2 \cdot E[3] + E[6] - E[6 \cdot b] - 2 \cdot E[6 \cdot b + 3] - E[6 \cdot b + 6]$$

$$A^{h,F} = E[0] - E[6] + 2 \cdot E[3 \cdot b] - 2 \cdot E[3 \cdot b + 6] + E[6 \cdot b] - E[6 \cdot b + 6]$$

$$G^F = \sqrt{(A^{v,F})^2 + (A^{h,F})^2}$$

$$G[0] = G^F$$

$$G = G + 1$$

$$E = E + 1$$

$$w = w + 1$$

Lösungsansatz

- Ausführung der Rechnung erfolgt mit einem Offset von einem Byte in jedem Schleifendurchlauf gleich und unabhängig voneinander
- SIMD Optimierung bietet sich an
- 16 Farbkanäle können in ein SIMD-Register geladen werden
 - **Schwierigkeit:** Aufgrund der Additionen und Multiplikationen reichen 8-Bit Werte nicht
 - **Lösung:** Erweiterung der 8-Bit Lanes auf 16-Bit Lanes mit dem Befehl `uxtl1/uxt12`
 - Verrechnung der mit Zwei multiplizierten Werte nach der Erweiterung mit `ush11`
 - Nur noch 8 Farbkanäle werden gleichzeitig berechnet

Lösungsansatz

$$G_{(x,y)}^F = \sqrt{(A_{(x,y)}^v)^2 + (A_{(x,y)}^h)^2}$$

- Vor der Quadrierung der Werte $A_{(x,y)}^v$ und $A_{(x,y)}^h$ Aufteilung der Register auf jeweils zwei Register mit 32-Bit Lanes

→ Verhinderung von Overflows

- Vor der Berechnung der Wurzel: Konvertierung aller Lanes zu Floats mit `ucvtf`, um die Wurzel-Instruction `fsqrt` auf allen Lanes zu ermöglichen
- Anschließend: Cast zu Integer mit der Instruction `fcvtzu`

Lösungsansatz

- 16-Bit Werte müssen zu 8-Bit Werten umgewandelt werden → Beschränkung der Lanes auf einen Maximalwert von 255
- Beispiel: Registers $R = [0100\ 1001]$, welches 2 Lanes mit jeweils 4 Bit besitzt und auf vier beschränkt werden soll
- Das Register Q wird auf allen Lanes mit dem Maximalwert beschrieben:
→ $Q = [0010\ 0010]$
- Erstellen einer Mask M über die Instruction `cmhi` mit dem Ergebnis-Register R und Q als Parameter
- M ist auf allen Lanes bitweise auf 1 gesetzt, wo R größer als der Wert von Q ist
→ $M = [0000\ 1111]$

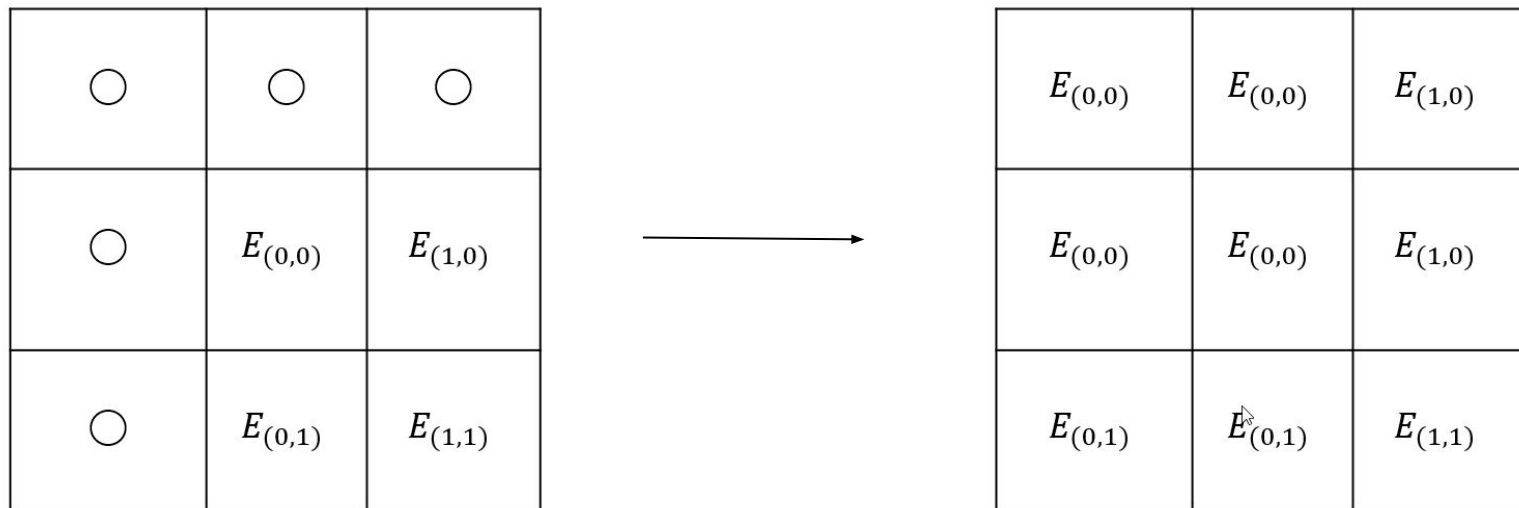
Lösungsansatz

$R = [0100\ 1001]$, $Q = [0010\ 0010]$, $M = [0000\ 1111]$, $!M = [1111\ 0000]$

- Durch den bitweisen Operator & auf R und !M werden alle Lanes auf 0 gesetzt, die größer als der Maximalwert (im Beispiel: 4) sind
→ $R = R \& !M = [0100\ 1001] \& [1111\ 0000] = [0100\ 0000]$
- In die auf 0 gesetzten Register muss nun der Maximalwert geschrieben werden
→ $Q = Q \& M = [0010\ 0010] \& [0000\ 1111] = [0000\ 0010]$
- Anwendung des bitweisen Operator | auf R und Q
→ $R = R | Q = [0100\ 0000] | [0000\ 0010] = [0100\ 0010]$

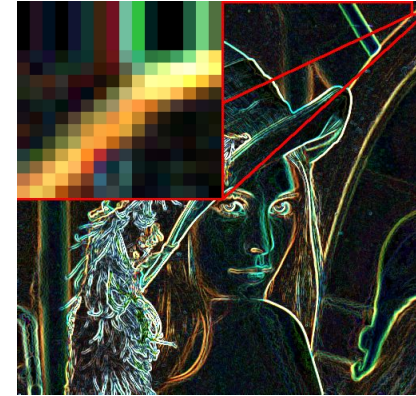
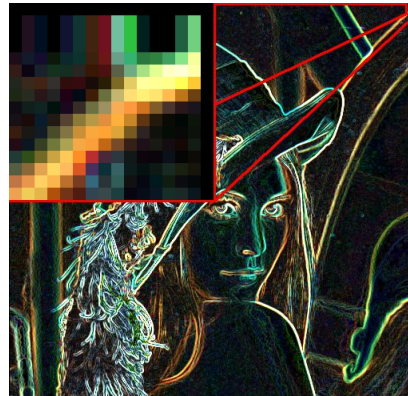
Lösungsansatz

- Weil alle Pixel in einem 3x3-Bereich um den zu berechnenden Pixel benötigt werden, sind Randpixel nicht definiert
- Verwendung eines Paddings, in welchem die Randpixel nach außen gespiegelt werden
- Algorithmus wird auf ein in jede Richtung um ein Pixel erweitertes Bild ausgeführt



Genauigkeit

- Unterschiedlicher Genauigkeiten abhängig von Randbehandlung
- Resultate:



Genauigkeit

$$A_{(x,y)}^{v,F} = \sum_{i=-k}^k \sum_{j=-k}^k M_{(k+i,k+j)}^v \cdot E_{(x+i,y+j)} \quad G_{(x,y)}^F = \sqrt{(A_{(x,y)}^{v,F})^2 + (A_{(x,y)}^{h,F})^2}$$

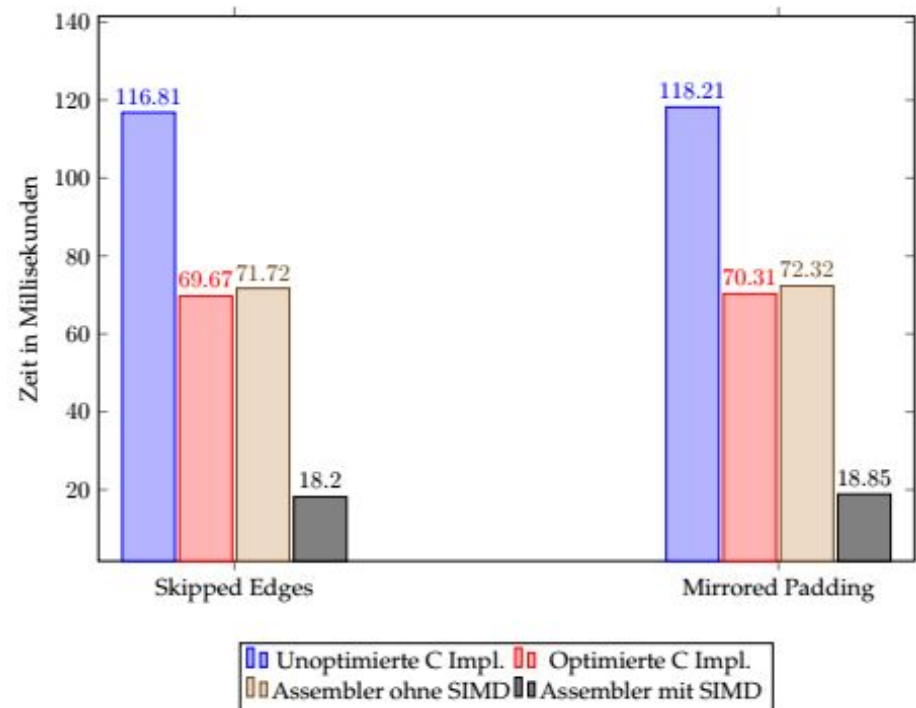
- Vertikale/Horizontale Komponente A des Ausgabe-Bildes kann größer als 255 sein
- A^2 kann in den 16-Bit Lanes der Summe in SIMD Overflow verursachen
- Laufzeit einsparen durch Akzeptieren das A selten Overflows verursacht
- Kernalgorithmus größenordnungsmäßig in $O(n^2)$
- Mit Mirrored-Padding $m + (n - 2)$ zusätzliche Durchläufe

Performanzanalyse

- Vergleich der Assembler-Implementierung zur C-Implementierung
- 8 verschiedene Modi durch 3 Parameter:
 - **Kompilierstufe:** Kompiliert mit Optimierungsstufe O2 oder O3
 - **Randstrategie:** *Skipped Edges* – oder *Mirrored Padding* – Strategie
 - **Implementierung:** Standard-Implementierung in C, C-Implementierung mit verbessertem Algorithmus, Standard-Assembler-Implementierung oder Assembler mit SIMD-Operationen

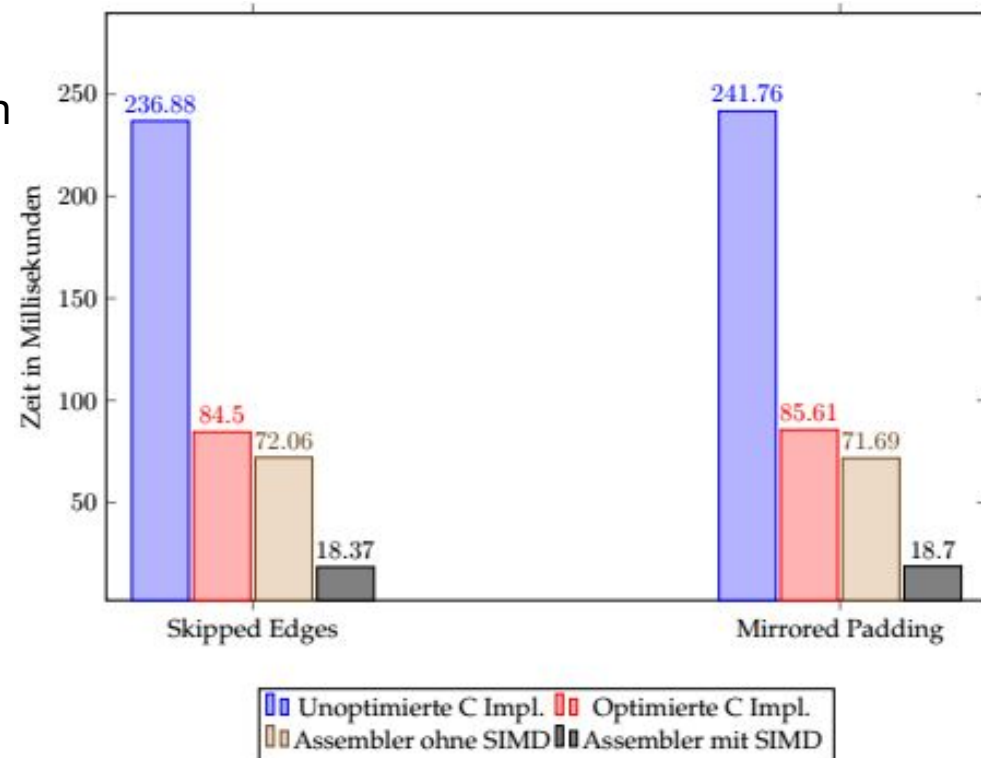
Performanzanalyse

- Kompiliert mit O3
- Kaum Unterschied zwischen den Randstrategien
- Extreme Differenz zwischen unoptimierter C-Implementierung und Assembler mit SIMD
- Wenig Differenz zwischen optimierter C-Implementierung und normaler Assembler-Implementierung
- Optimierte C-Implementierung schneller als Assembler-Implementierung ohne SIMD



Performanzanalyse

- Kompiliert mit O2
- Erneut kaum Unterschied zwischen den Randstrategien
- Noch größere Differenz zwischen unoptimierter C-Implementierung und Assembler mit SIMD
- Größere Differenz zwischen normaler Assembler- und optimierter C-Implementierung
- Assembler immer schneller als C



Zusammenfassung und Ausblick

- Mögliche Laufzeit-Verbesserung durch Berechnen der Quadrate in 16 Bit Lanes anstatt 32 Bit Lanes, wobei mit Qualitätsverlust des Ergebnisses zu rechnen ist
- Marginale Verbesserungsmöglichkeit durch Integration der vertikalen Spiegelung der *Mirrored Padding* - Strategie in den Kernalgorithmus, zur Vermeidung redundanter Ladebefehle
- Extreme Performanzgewinne durch Nutzung vektorisierter Berechnungen in Assembler mit Hilfe von SIMD-Operationen
 - ➔ Möglicherweise häufig lohnenswert, gewisse Berechnungen daher in Assembler / Inline-Assembler durchzuführen